

文章编号: 1001-1412(2000)03-0282-06

赣南陂头花岗岩体 Nd-Sr 同位素特征及其意义

范春方, 陈培荣

(南京大学 成矿作用国家重点实验室, 南京大学 地球科学系, 江苏 南京 210093)

摘要: 对赣南陂头花岗岩岩体进行 Rb-Sr 同位素定年研究, 确定了其 Rb-Sr 等时线年龄为 (178.2 ± 0.84) Ma, 表明其形成于中侏罗世早期。并研究了陂头花岗岩 Sm-Nd 组成, 计算出其 $\text{Nd}_{(t)}$ 值 ($-5.4 \sim -6.4$) 和 T_{DM} 值 ($1406 \sim 1482$ Ma), 确定其物质来源为较年轻的地壳。

关键词: A型花岗岩; 陂头岩体; Nd、Sr 同位素; Nd 模式年龄; 赣南

中图分类号: P588.12; P597

文献标识码: A

1 岩体地质特征

陂头岩体位于江西省龙南县城北部陂头镇一带, 受南岭 EW 向构造带控制, 是南岭花岗岩带北带东段的组成部分。

岩体呈岩基产出, 出露面积 400 km^2 以上(图 1), 岩体东部和西部侵入震旦—寒武系之中, 围岩多属砂泥质岩石。岩体南侧大多与泥盆—二叠系呈侵入接触, 围岩主要为碎屑岩类及碳酸盐岩, 接触变质作用强烈, 接触交代作用强。北部被上白垩统红层覆盖。陂头岩体附近的隘高岩体、柯树北岩体已确定为 S型花岗岩岩体, 安西岩体为 A型花岗岩体(陈培荣等, 1989)^[1], 寨背岩体为 A型花岗岩(陈培荣等, 1989 年)^[2]。陂头岩体中出露富钾花岗岩相和碱性花岗岩相, 其中含碱性铁镁矿物钠闪石(或钠铁闪石)和霓石。

根据野外地质观察以及岩石学、岩石化学、微量元素、稀土元素等资料的研究(表 1), 陂头岩体与本区内的寨背 A型花岗岩岩体的主量元素和微量元素具相似的特征, 同样具有典型 A型花岗岩的高硅、高碱、低铝、低钙镁等特征, 并且在其碱性花岗岩矿物相中可见钠闪石(或钠铁闪石)和霓石, 所以可以定为 A型花岗岩。

收稿日期: 2000-03-29; 修订日期: 2000-07-12

基金项目: 国家自然科学基金项目(49772110)、国家重点基础研究项目(G199043200)及核工业总公司地质局项目联合资助。

第一作者简介: 范春方(1975-), 男, 江苏苏州人, 硕士研究生, 从事同位素地球化学研究。

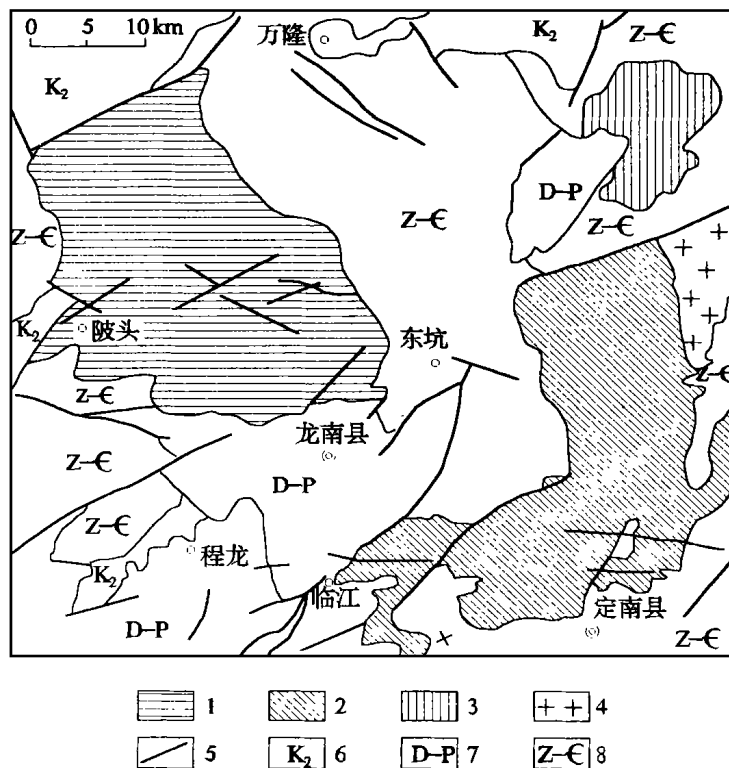


图 1 碱头岩体地质略图

Fig. 1 Simplified geologic map of Pitou intrusive

1. 碱头岩体 2. 塞背岩体 3. 安西岩体 4. 隘高岩体 5. 断层 6. 白垩系上统 7. 泥盆—二叠系 8. 震旦—寒武系

表 1 碱头岩体花岗岩的化学组成($w_{\text{B}}/\%$)

Table 1 Analysis of Pitou intrusive

岩体类型	岩石类型	样品编号	SiO_2	TiO_2	Al_2O_3	Fe_2O_3	FeO	MnO	MgO	CaO	Na_2O	K_2O	P_2O_5	烧失	总量
碱头岩体	钾长花岗岩	9704-1	71.1	0.17	13.6	1.55	0.96	0.03	0.16	0.80	4.42	5.38	0.11	1.44	99.72
		9705	74.9	0.18	12.0	0.82	1.41	0.04	0.25	1.16	3.20	4.90	0.09	0.69	99.57
		9704-2	76.3	0.15	11.5	0.61	0.99	0.04	0.07	0.68	2.79	5.4	0.1	0.75	99.36
		99-10-1	74.2	0.17	12.8	0.78	1.45	0.08	0.15	0.81	3.3	5.63	0.05	0.66	100.0
		99-11-1	73.1	0.24	13.0	1.35	1.29	0.09	0.15	0.58	3.07	5.55	0.07	0.85	99.3

注: 1 主量元素由南京大学地球科学系中心实验室分析, 分析方法为: Si 和烧失量采用重量法; Al 和 Fe^{2+} , 容量法; Fe^{3+} , Ti 和 P, 比色法; K, Na, Ca, Mg 和 Mn, 原子吸收分光光度计。

2 样品及分析方法

样品是在野外采集的各种新鲜样品经过严格的室内鉴定后选取的。铷、锶、钐、钕同位素分析采用了Teflon高压密闭熔样法和阳离子交换技术。用第一根交换柱使样品中铷、锶稀土与主元素相分离。用第二根交换柱使钐、钕进一步分离。第二根交换柱是在Eugster等^[3]和Bor-Ming Jahn等^[4]提出的方法基础上作了某些改进。钐、钕淋洗剂采用0.2 mol的-羟基异丁酸($\text{pH}=4.43$)。样品的铷、锶、钐、钕同位素组成是在VG-354质谱仪上完成的。化学分离与质谱测定均在南京大学现代分析中心质谱实验室完成。实验测定NBS987 Sr标样中 $w(^{87}\text{Sr})/w(^{86}\text{Sr})=0.710\ 22 \pm 4(2)$, 标准化值采用 $w(^{86}\text{Sr})/w(^{88}\text{Sr})=0.119\ 4$; BCR-1岩石标样中 $w(^{143}\text{Nd})/w(^{144}\text{Nd})=0.512\ 662 \pm 8(2)$, 标准化值采用 $w(^{146}\text{Nd})/w(^{144}\text{Nd})=0.721\ 9$ 。Nd和Sr的全流程本底分别为 $5 \times 10^{-11} \sim 7 \times 10^{-11}\text{ g}$ 和 $1 \times 10^{-9} \sim 2 \times 10^{-9}\text{ g}$ 。其他详细的Sm-Nd, Rb-Sr化学制备、质谱测定方法以及各类标样数据测定结果见本文参考文献[5]。

Nd, Sr同位素组成 $\text{Nd}(t)$, $\text{Sr}(t)$ 和 $T_{2\text{DM}}$ 值采用下式计算(McCulloch, et al. 1982; Faure, 1986; Liew and Hofmann, 1988)^[6, 7, 8]

$$\text{Nd}(t) = [(\frac{^{143}\text{Nd}}{^{144}\text{Nd}})_s / (\frac{^{143}\text{Nd}}{^{144}\text{Nd}})_{\text{CHUR}} - 1] \times 10^4$$

$$(\frac{^{143}\text{Nd}}{^{144}\text{Nd}})_s = (\frac{^{143}\text{Nd}}{^{144}\text{Nd}})_s - (\frac{^{147}\text{Sm}}{^{144}\text{Nd}})_s (e^{s_m t} - 1)$$

$$(\frac{^{143}\text{Nd}}{^{144}\text{Nd}})_{\text{CHUR}} = (\frac{^{143}\text{Nd}}{^{144}\text{Nd}})_{\text{CHUR}} - (\frac{^{147}\text{Sm}}{^{144}\text{Nd}})_{\text{CHUR}} (e^{s_m t} - 1)$$

$$\text{Sr}(t) = [(\frac{^{87}\text{Sr}}{^{86}\text{Sr}})_s / (\frac{^{87}\text{Sr}}{^{86}\text{Sr}})_{\text{UR}} - 1] \times 10^4$$

$$(\frac{^{87}\text{Sr}}{^{86}\text{Sr}})_s = (\frac{^{87}\text{Sr}}{^{86}\text{Sr}})_s - (\frac{^{87}\text{Rb}}{^{86}\text{Sr}})_s (e^{r_b t} - 1)$$

$$(\frac{^{87}\text{Sr}}{^{86}\text{Sr}})_{\text{UR}} = (\frac{^{87}\text{Sr}}{^{86}\text{Sr}})_{\text{UR}} - (\frac{^{87}\text{Rb}}{^{86}\text{Sr}})_{\text{UR}} (e^{r_b t} - 1)$$

$$T_{2\text{DM}} = 1 / s_m \ln \{ 1 + [(\frac{^{143}\text{Nd}}{^{144}\text{Nd}})_s - ((\frac{^{147}\text{Sm}}{^{144}\text{Nd}})_s - (\frac{^{147}\text{Sm}}{^{144}\text{Nd}})_{\text{CHUR}}) (e^{s_m t} - 1) - (\frac{^{143}\text{Nd}}{^{144}\text{Nd}})_{\text{DM}}] / [(\frac{^{147}\text{Sm}}{^{144}\text{Nd}})_{\text{CHUR}} - (\frac{^{147}\text{Sm}}{^{144}\text{Nd}})_{\text{DM}}] \}$$

式中: t代表岩石结晶年龄; s为样品的同位素组成现今测定值; $(\frac{^{143}\text{Nd}}{^{144}\text{Nd}})_{\text{CHUR}} = 0.512\ 638$; $(\frac{^{147}\text{Sm}}{^{144}\text{Nd}})_{\text{CHUR}} = 0.196\ 7$; $(\frac{^{87}\text{Sr}}{^{86}\text{Sr}})_{\text{UR}} = 0.704\ 5$; $(\frac{^{87}\text{Rb}}{^{86}\text{Sr}})_{\text{UR}} = 0.081\ 6$; $(\frac{^{147}\text{Sm}}{^{144}\text{Nd}})_{\text{DM}} = 0.213\ 6$; $(\frac{^{143}\text{Nd}}{^{144}\text{Nd}})_{\text{DM}} = 0.513\ 151$, $s_m = 6.54 \times 10^{-12}\text{ a}^{-1}$; $r_b = 1.42 \times 10^{-11}\text{ a}^{-1}$; 以上各式中量名称为B的质量分数(w_B)。

3 分析结果

陂头岩体全岩及单矿物钾长石的Rb, Sr同位素组成见表2, 计算得到Rb-Sr等时线年龄为 $(178.2 \pm 0.84)\text{ Ma}$ (图2), 表明其形成于中侏罗世早期。其MSWD值较小, 故其年龄是可信的。

表2 碱头岩体全岩及单矿物样品的铷、锶同位素测定结果

Table 2 Rubidium and strontium isotopic compositions of selected minerals and whole-rock from Pitou intrusive.

样品号	样品种类	$w_{\text{Rb}} / 10^{-6}$	$w(^{87}\text{Rb}) / w(^{86}\text{Sr})$	$w(^{87}\text{Sr}) / w(^{86}\text{Sr})$	误 差	$\text{Sr}(t)$
		Rb				
9704-1	全岩	136.3	63.51	5.784	± 18	77.6
9705	全岩	241.5	46.42	15.34	± 20	77.59
9708-1	全岩	508.9	61.86	24.26	± 19	77
9704-2	全岩	270.1	48.37	16.45	± 9	77.7
9705	钾长石	145.3	58.59	7.301	± 14	76.97

注: 由南京大学现代分析中心王银喜测定, 在 VG-354 质谱计上完成, 实验测定 NBS987Sr 标样中 $w(^{87}\text{Sr}) / w(^{86}\text{Sr}) = 0.71022 \pm 4(2)$, 标准化值采用 $w(^{87}\text{Sr}) / w(^{86}\text{Sr}) = 0.1194$ 。

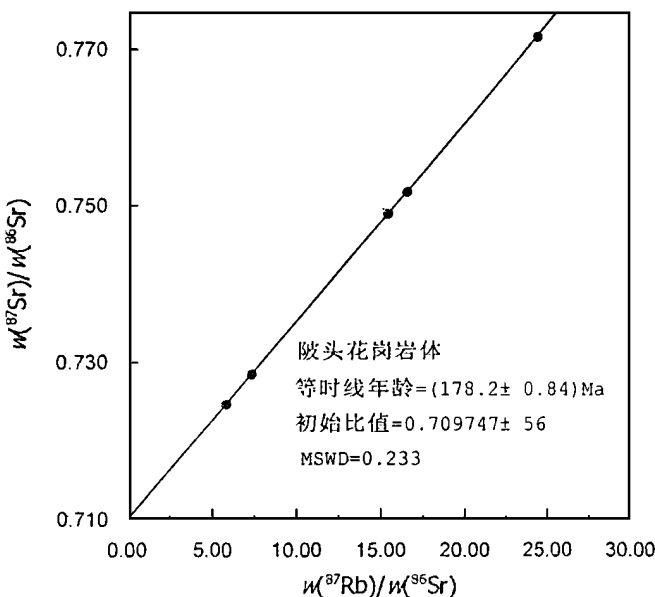


图2 碱头岩体全岩-单矿物 Rb-Sr 等时线年龄

Fig. 2 Diagram of Rb-Sr isochron of separated mineral and
whole-rock samples from Pitou intrusive.

碱头岩体的 Sm, Nd 同位素组成及据此所计算出的 ${}_{\text{Nd}}$ 和两阶段模式年龄 $T_{2\text{DM}}$ 列于表 3 中。

表3 碱头岩体全岩样品的钐、钕同位素测定结果

Table 3 Samarium and neodymium isotopic compositions of whole-rock samples from Pitou intrusive.

样品号	样品种类	$w_{\text{Sm}} / 10^{-6}$	$w(^{147}\text{Sm}) / w(^{144}\text{Nd})$	$w(^{143}\text{Nd}) / w(^{144}\text{Nd})$	误 差	${}_{\text{Nd}}(t)$	$T_{2\text{DM}}(\text{Ma})$
		Sm					
9704-1	全岩	8.691	41.86	0.1256	± 18	- 6.4	1 482
9705	全岩	10.98	58.49	0.1138	± 26	- 5.4	1 406

注: 由南京大学现代分析中心王银喜测定, 在 VG-354 质谱计上完成, BCR-1 岩石标样中 $w(^{143}\text{Nd}) / w(^{144}\text{Nd}) = 0.512662 \pm 8(2)$, 标准化值采用 $w(^{146}\text{Nd}) / w(^{144}\text{Nd}) = 0.7219$ 。

4 讨论与结论

花岗岩类的 Nd-Sr 相关特性是当前研究物质来源最有效的手段之一。由图 3 可以看出陂头岩体具有较高的 $Sr(t)$ 值 ($76.97 \sim 77.7$) 和较低的 $Nd(t)$ 值 ($-5.4 \sim -6.4$)，它的源区物质应该以地壳组分为主，故可以认为陂头岩体是地壳来源的。陂头岩体的 $w(Sm)/w(Nd) = 0.18 \sim 0.20$ ，与地壳岩石的 $w(Sm)/w(Nd)$ 值 0.21 (Henderson, et al. 1984)^[9] 以及地壳花岗岩的 $w(Sm)/w(Nd)$ 值 $0.11 \sim 0.24$ (Hawkesworth, 1984)^[10] 相似。

沈渭洲等 (1989)^[11] 认为，花岗岩的 $w(Sm)/w(Nd)$ 值位于 $0.14 \sim 0.24$ 范围的 Nd 模式年龄能较为可靠地指示大陆地壳的形成时间。陂头岩体两阶段 Nd 模式年龄变化在 $1406 \sim 1482$ Ma 间，相当于中元古代。已测得南岭地区四堡群的 (Sm)- (Nd) 全岩等时线年龄 2219 Ma (毛景文等, 1990)^[12]，麻源群 (Sm)- (Nd) 全岩等时线年龄 2116 Ma (袁忠信等, 1991; 1992)^[13, 14]，邻区汤湖花岗岩中残留锆石的 U-Pb 不一致线上交点年龄 2516 Ma (李献华等, 1989)^[15] 以及广西清湖岩体石英二长岩中锆石 U-Pb 不一致线上交点年龄 2642 Ma (袁忠信等, 1992)^[14]。这些资料表明南岭地区地壳最早可能形成于晚太古代。陂头岩体的模式年龄和 $Nd(t)$ 值反映了其成岩物质来源于较年轻的地壳。

本项研究是在王银喜副教授指导下完成的，在此深表谢意。

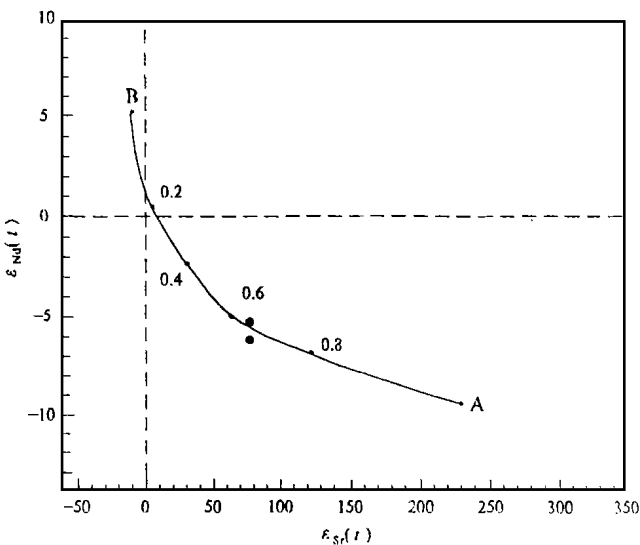


图 3 赣南陂头花岗岩 $\epsilon_{Sr}(t) - \epsilon_{Nd}(t)$ 相关图

Fig. 3 $\epsilon_{Sr}(t)$ vs. $\epsilon_{Nd}(t)$ diagram of granitoid in Pitou granite
实心圆为陂头岩体; A: 地壳成分点, $Nd = -9.0$,
 $Nd = 28.0 \times 10^{-6}$, $Sr = 227.2$, $Sr = 140 \times 10^{-6}$;
B: 地幔成分点, $Nd = +6.0$, $Nd = 14.0 \times 10^{-6}$,
 $Sr = -14.20$, $Sr = 470 \times 10^{-6}$
(据 McCulloch and Chappell, 1982)^[6]。

参考文献:

- [1] 陈培荣, 吴燕玉, 黄耀生, 等. 赣南陂头花岗岩体锶和氧同位素研究 [J]. 南京大学学报(地球科学版), 1989(1~2): 118-124.
- [2] 陈培荣, 章邦桐, 孔兴功, 等. 赣南寨背 A 型花岗岩的地球化学证据及其地质意义 [J]. 岩石学报, 1998, 14(3): 289-298.

- [3] Eugster O, Tera F, Burnett D S, et al. Isotopic composition of gadolinium and neutroncapture effects in some meteorites. [J]. *J. Geophys. Res.*, 1970, 75: 2753-2765.
- [4] Bor-ming Jahn, Bernard-Griffiths, Garlot J, et al. Nd and Sr isotopic compositions and REE abundances of Cretaceous MORB (holes 417D and 418A, legs 51, 52, and 53) [J]. *Earth Planet. Sci. Lett.*, 1980, 48: 171-184.
- [5] 王银喜, 杨杰东, 陶先聪, 等. 化石、矿物和岩石样品的 Sm-Nd 同位素实验方法研究及应用 [J]. 南京大学学报(自然科学版), 1988(2): 297-308.
- [6] McCulloch M T, Chappell B W. Nd isotopic characteristics of S-and I-granites [J]. *Earth Planet. Sci. Letters*, 1982, 58: 51-64.
- [7] Faure G. *Principles of isotope geology* [M]. John Wiley and Sons, New York, 1986.
- [8] Liew T C, Hofmann A W. Precambrian crustal components, plutonic assimilations, plate environment of the Hercynian fold belt of central Europe: Indications from a Nd and Sr isotopic study [J]. *Contrib. Mineral. Petrol.*, 1988, 98: 129-138.
- [9] Henderson P. General geochemical properties and abundance of the rare earth elements [A]. In: Henderson P. *Rare Earth Element Geochemistry* [C]. Elsvier, 1984. 1-29.
- [10] Hawkesworth C J. Radiogenic isotopes-some geological applications [A]. In: Henderson P. *Rare Earth Element Geochemistry* [C]. Elsevier, 1984.
- [11] 沈渭洲, 朱金初, 刘昌实, 等. 从 Nd 模式年龄谈华南地壳的形成时间 [J]. 南京大学学报(地球科学版), 1989(3): 82-91.
- [12] 毛景文, 张宗清, 董宝林. 江南古陆南缘四堡群钐钕同位素年龄研究 [J]. 地质论评, 1992, 36(3): 264-268.
- [13] 袁忠信, 张宗清, 等. 南岭花岗岩类岩石 Sm, Nd 同位素特征及岩石成因探讨 [J]. 地质论评, 1992, 38(1): 1-14.
- [14] 袁忠信, 吴良士, 张宗清, 等. 闽北麻源群 Sm-Nd、Rb-Sr 同位素年龄研究 [J]. 岩石矿物学杂志, 1991, 10(2): 127-132.
- [15] 李献华, Tasumoto M, 桂训唐. 华南汤湖花岗岩中 25 亿年太古代残留锆石的发现及其意义初探 [J]. 科学通报, 1989(2): 165-168.

Nd AND Sr ISOTOPIC COMPOSITIONS OF PITOU GRANITIOD IN SOUTH JIANGXI PROVINCE

FAN Chun-fang, CHEN Pei-rong

(State Key Laboratory of Mineral Deposits, Nanjing University;
Dept. of Earth Sciences, Nanjing University, Nanjing 210093, China)

Abstract: The Rb-Sr isochron ages of the Pitou granitiod in south Jiangxi province is 178.2 ± 0.84 Ma. It is suggested that the Pitou granitiod be formed in the Early Jurassic. The Sr_{is} (t) value of Pitou granitiod is $76.97 \sim 77.7$, the Nd_{is} (t) value ranges from -5.4 to -6.4 and the T_{DM} age ranges from 1 406 Ma to 1 482 Ma, which show that the Pitou granitiod was derived from the younger crust.

Key words: A-type granite; Pitou granitiod; Nd and Sr isotope; Nd model age; Gannan